ГЕОХРОНОЛОГИЯ

Rb-Sr, Sm-Nd ИЗОТОПНЫЙ ВОЗРАСТ И ГЕОХИМИЧЕСКИЕ ОСОБЕННОСТИ МОНЦОДИОРИТОВ ПОКРОВСКОГО МАССИВА НА СЕВЕРНОМ УРАЛЕ

В.И. Маегов, Ю.Л. Ронкин, Г.А. Ильясова, О.П. Лепихина, О.Ю. Попова

Покровский массив, расположенный в 5-10 км к северо-западу от г. Североуральска, залегает среди раннесилурийских вулканогенных пород Тагильской мегазоны, соприкасаясь в районе поселка Баяновка с Кумбинским ультрамафит-габбровым массивом (рис. 1), принадлежащим к Платиноносному поясу Урала. Контактовая зона

между массивами перекрыта четвертичными отложениями и предположительно имеет тектонический характер. Считается, что с Покровским массивом генетически связаны находящиеся в его обрамлении контактово-метасоматические железорудные залежи Покровского месторождения [Овчинников, 1960]. Геолого-петрографическое

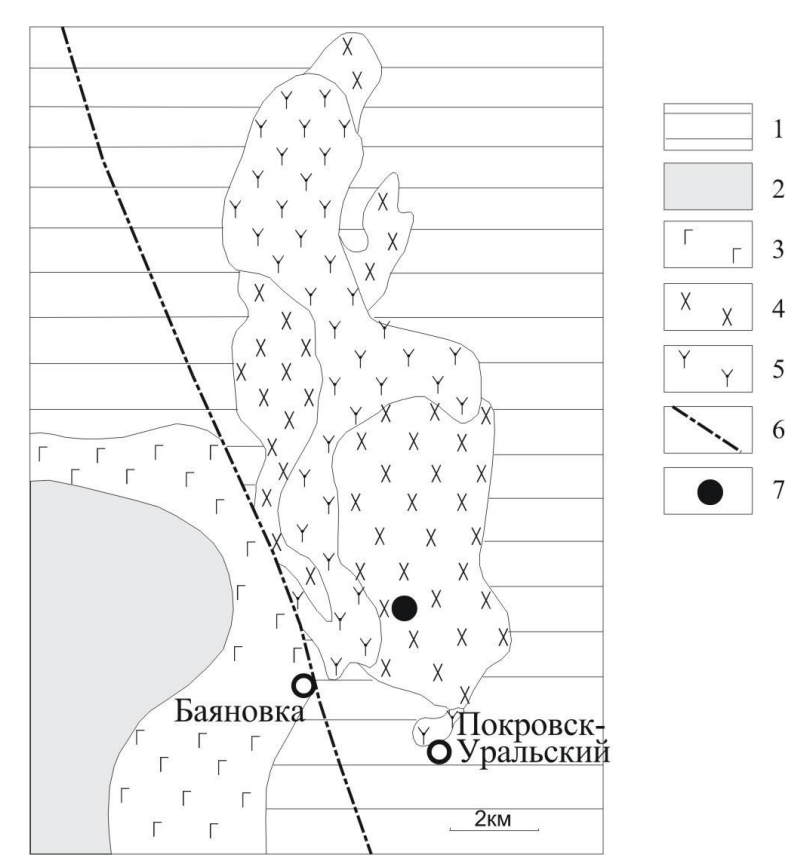


Рис. 1. Схема геологического строения Покровского гранитоидного массива и северо-восточной части Кумбинского габбрового массива.

1 — вулканиты раннесилурийского возраста; 2-3 — Кумбинский массив: оливиновые габбро с телами ультрамафитов (2), габбронориты (3); 4-5 — Покровский массив: монцодиориты (4), граносиениты (5); 6 — тектоническое нарушение; 7 — местоположение образцов 8263 и 8283-8.

изучение Покровского массива проводилось Н.Д.Знаменским [1966], который рассматривал его в качестве гранитоидного массива габбровой формации, имеющего верхнедевонский возраст, о чем свидетельствует, в частности, приводимый в его работе результат определения К-Аг возраста сиенито-диорита из этого массива — 355 млн лет. На изданной государственной геологической карте масштаба 1:200000 [Ефимова, 1988] принят позднесилурийский возраст Покровского массива, переименованного в Высотинский.

В процессе проведения ГДП-200 Североуральской площади нами получены новые дан-

ные о геологических соотношениях наиболее распространенных в Покровском массиве интрузивных пород – монцодиоритов и граносиенитов, а также первые данные о распределении редких и рассеянных элементов и Rb-Sr и Sm-Nd изотопном возрасте монцодиоритов.

Геологические соотношения монцодиоритов и граносиенитов достоверно устанавливаются в Липовском карьере, расположенном к северу от вершины горы Липовая. Граносиениты – лейкократовые породы с розоватыми и кремовыми оттенками - залегают в виде маломощных жил и даек, контрастно выделяющихся на фоне вмещающих их мезократовых монцодиоритов. Данные наших геолого-петрографических наблюдений дают основание для вывода, что монцодиориты и граносиениты представляют собой породы относительно разновозрастных по времени внедрения инрузивных фаз, причем монцодиориты принадлежат к более ранней фазе.

Фемическая часть наименее вторично измененных монцодиоритов в изученных образцах 8263 и

8283-8 представлена клино- и ортопироксенами, биотитом, роговой обманкой, магнетитом: салическая – плагиоклазом, гомогенным ортоклазом, кварцем, акцессорными апатитом и цирконом. Структура пород гипидиоморфнозернистая, близкая к офитовой, с отчетливым идиоморфизмом длиннотаблитчатого прямозонального плагиоклаза по отношению к интерстициальным агрегатам кварца, ортоклаза, кварц-ортоклазового микропегматита. В табл. 1 и на рис. 2 приведены данные о химическом составе и распределении РЗЭ изученных образцов.

Для изотопных исследований из этих образцов были выделены мономинеральные фрак-

Таблица 1

Содержания петрогенных компонентов (мас. %), Rb и Sr (г/т) в монцодиоритах

№ обр.	SiO ₂	TiO ₂	Al_2O_3	Fe ₂ O ₃	FeO	MnO	MgO	CaO	Na ₂ O	K ₂ O	P_2O_5	Rb	Sr
8263	56,22	0,77	16,02	5,49	3,65	0,15	3,40	7,04	3,87	1,79	0,31	37	442
8283-8	54,24	0,80	16,46	5,01	4,46	0,17	3,06	7,50	3,73	1,89	0,33	36	435

ции биотитов, коллективные амфибол-пироксеновые и кварц-полевошпатовые фракции.

Аналитические процедуры. Мультиэлементный микроанализ осуществлялся в ИГГ
УрО РАН с помощью кислотного разложения
геологического материала и последующего анализа на тандемном масс-спектрометре высокого разрешения с ионизацией в индуктивно-связанной плазме HR/ICP-MS Element2 [Ронкин и
др., 2005]. Погрешность мультиэлементого анализа не хуже ±(5-10) % отн. при содержании элемента больше 10-20 предела его обнаружения.

Определение концентраций и изотопного состава Rb, Sr, Sm и Nd были выполнены массспектрометрическим методом изотопного разбавления с использованием смешанных трассеров ⁸⁵Rb-⁸⁴Sr, ¹⁴⁹Sm-¹⁵⁰Nd с дальнейшим измерением изотопного состава соответствующих смесей с помощью прецизионного мультиколлекторного анализатора Finnigan MAT262 в статическом режиме. Типичные погрешности для отношений ${}^{87}Rb/{}^{86}Sr, {}^{87}Sr/{}^{86}Sr, {}^{147}Sm/{}^{144}Nd$ и ¹⁴³Nd/¹⁴⁴Nd для данного объекта не превышали 0.6%, 0.011%, 0.5% и 0.003% ($\pm 2\sigma$) соответственно и контролировались путем анализа аттестованных международных стандартов Е&А (MTI), La Jolla и BCR-2. Калькуляция Rb-Sr и Sm-Nd эволюционных зависимостей осуществлялась с помощью Isoplot/Ex ver. 2.49 [Ludwig, 2001].

Результаты. Валовые составы монцодиоритов 8263 и 8263-8 и выделенные из них минеральные фракции полевого шпата, биотита, пироксена и амфибола в координатах 87 Rb/ 86 Sr 87 Sr/ 86 Sr обнаруживают значительную «растяжку» по оси абсцисс (0,24 − 18), удовлетворяя изохронным зависимостям (MSWD ≤ 1,7), опре-

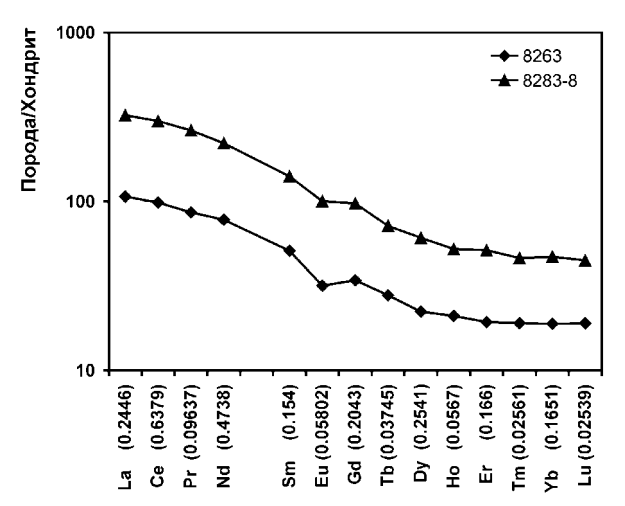


Рис. 2. Распределение РЗЭ в монцодиоритах. В круглых скобках нормировочные коэффициенты по [Evensen et al., 1978].

деляющим в свою очередь Llandovery [Харленд и др., 1985] возраст 440,1 \pm 1,9 млн лет (рис. 3A) и 439,0 \pm 1,9 млн лет (рис. 3Б), при практически равных и относительно низких абсолютных значениях первичных отношений изотопов стронция 0,703288 \pm 0,000034 и 0,703210 \pm 0,000040 соответственно.

Аналогичные построения для Sm-Nd изотопной системы монцодиорита и выделенных из него плагиоклаза и пироксена на графике 143 Nd $^{/144}$ Nd $^{-147}$ Sm $^{/144}$ Nd (рис. 3B) позволяют аппроксимировать аналитические данные лини-

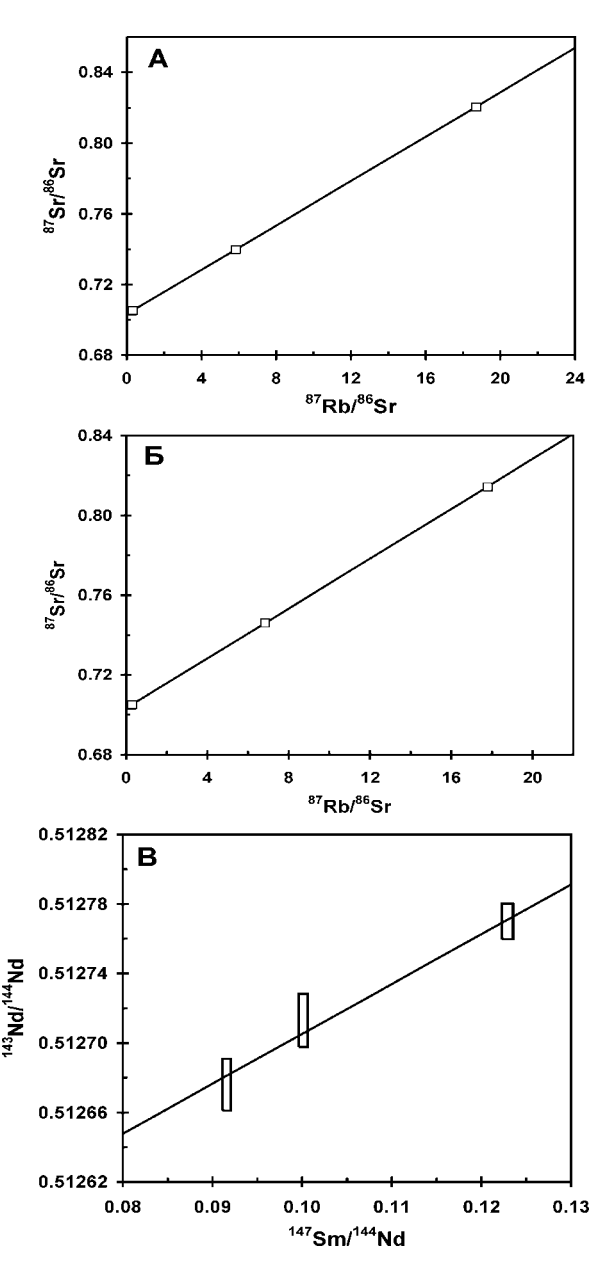


Рис. 3. Эволюционные Rb-Sr и Sm-Nd диаграммы для монцодиоритов Покровского массива. Wr — порода, Bi — биотит; коллективные фракции: Fs — кварцполевошпатовые, Px — пироксеновые, Amf + Px — амфибол-пироксеновые.

ей регрессии, наклон которой в обозначенных координатах характеризуется изохронным (MSWD = 1,4) возрастом 438±80 млн лет (95 % доверительный уровень). Значительная величина погрешности фиксируемого возраста с одной стороны определяется малой величиной относительной разницы измеряемых изотопных отношений, а с другой — минимальным количеством фигуративных точек (n = 3). Тем не менее, абсолютные значения полученных возрастов по обеим изотопным системам (Rb-Sr и Sm-Nd) находятся в превосходном согласии в пределах наблюдаемых погрешностей.

Обсуждение результатов. Разница значений Rb-Sr возраста (как наиболее надежно определенного) монцодиоритов Покровского массива – 439-440 млн лет и габброноритов Кумбинского массива – 428±7 млн лет (U-Pb метод по циркону [Bosch at all., 1997]), 423 млн лет (Sm-Nd метод [Ронкин и др., 2001; 2003]), принимая во внимание возможные пределы погрешностей измерений, различия методов определения и межлабораторные расхождения, в масштабах геологического времени относительно невелика – 10-15 млн лет, но вполне ощутима. Если приведенные данные более или менее объективно отражают временную последовательность формирования сравниваемых пород от более ранних монцодиоритов в Покровском массиве до более поздних габброноритов в Кумбинском массиве, то они, во всяком случае в данной конкретной геологической обстановке, не согласуются с высказываниями об общей тенденции омоложения возраста интрузивных образований Платиноносного пояса и его окружения в направлении с запада на восток [Эвгеосинклинальные..., 1984; Иванов и др., 2000]. Обращает на себя внимание тот факт, что приведенные данные об изохронном Rb-Sr и Sm-Nd возрасте монцодиоритов Покровского массива, практически соответствующие рубежу ордовик-силур по современной стратиграфической шкале, указывают на более древний возраст этих пород в сравнении с принятым на изданной геологической карте [Ефимова, 1988] возрастом окружающих этот массив вулканитов - поздний лландовери-средний венлок. Между тем, предполагаемая генетическая связь и, соответственно, синхронность формирования Покровского массива и контактово-метасоматического железооруденения в обрамляющих его вулканитах, указывают на более древний исходный возраст последних относительно возраста массива.

Список литературы

 $Eфимова\ Л.П.$ Государственная геологическая карта СССР масштаба 1:200 000. Серия Среднеуральская, лист P-40-XXXVI. Объяснительная записка. Свердловск, 1988. 134 с.

Знаменский Н.Д. Гранитоиды габбровой формации Среднего Урала. Свердловск: ИГ УФАН, 1966. 145 с.

Иванов К.С. Смирнов В.Н., Ерохин Ю.В. Тектоника и магматизм коллизионной стадии (на примере Среднего Урала) // Путеводитель геологических экскурсий Междунар. научн. конф. «Коллизионная стадия развития подвижных поясов». VI Чтения А.Н. Заварицкого. Екатеринбург: УрО РАН, 2000. 132 с.

Овчинников Л.Н. Контактово-метасоматические месторождения Среднего и Северного Урала. Свердловск: ГГИ УФАН, 1960. 494 с.

Ронкин Ю.Л., Иванов К.С., Шмелев В.Р., Лепихина О.П. К проблеме изотопного датирования Платиноносного пояса Урала: Кумбинский массив.Первые Sm-Nd. данные // Юбилейная научно-практ. конф. «Геология и полезные ископаемые Западного Урала». Пермь, 2001. С. 29-30.

Ронкин Ю.Л., Иванов К.С., Шмелев В.Р., Лепихина О.П. Sm-Nd изотопное датирование габбро-норита Кумбинсого массива: Платиноносный пояс Урала // Мат-лы II Российской конф. по геохронологии. СПб., 2003. С. 424-427.

Ронкин Ю.Л., Лепихина О.П., Голик С.В., Журавлев Д.З., Попова О.Ю. Мультиэлементный анализ геологических образцов кислотным разложением и окончанием на HR ICP-MS Element2 // Ежегодник-2004. Екатеринбург: ИГГ УрО РАН, 2005. С. 423-433.

Харленд У.Б., Кокс А.В., Ллевеллин П.Г., и др. Шкала геологического времени. М.: Мир, 1985. $140 \, \mathrm{c}$.

Эвгеосинклинальные габбро-гранитоидные серии // Ферштатер Г.Б., Малахова Л.В., Бородина Н.С. и др. М.: Наука, 1984. 264 с.

Bosch D., Krasnobayev A.A., Efimov A.A. et al. Early Silurian ages for the gabbroic section of the maficultramafic zone from the Urals Platinum Belt // EUG 9. 23-27 March 1997, Strasbourg (France). Abstr. Terra Nova, 1997. V. 9. Abstract Supplement. N 1. P. 122.